

微分方程数值解计算实习课后作业 3

陈文字

2023 年 3 月 29 日

目录

1	问题重述	2
2	实验思路	2
3	实验结果	4
4	实验结果分析	6

1 问题重述

- 画出数值解的图像
- 获取两类误差:

$$errL = (\int_0^1 (\mu_*(x) - \mu_n(x))^2 dx)^{\frac{1}{2}}$$

$$errH = (\int_0^1 (\mu_*(x) - \mu_n(x))^2 + (\mu'_*(x) - \mu'_n(x))^2 dx)^{\frac{1}{2}}$$

计算其关于网格长度的数值收敛阶

- 用 $\log\log()$ 函数展示 $errL$ $errH$, $condA$ 的图像,

2 实验思路

有限元方法求解: 练习 2.1.1

$$\begin{cases} -\mu'' + \frac{\pi^2}{4}\mu = \frac{\pi^2}{2} \sin \frac{\pi}{2}x & 0 < x < 1 \\ \mu(0) = 0, \quad \mu'(1) = 0 \end{cases}$$

对每个结点构造山形函数: 对于 $i=1, 2, \dots, n-1$

$$\phi_i(x) = \begin{cases} 1 + \frac{x+x_i}{h_i} & x_{i-1} < x < x_i \\ 1 - \frac{x-x_i}{h_{i+1}} & x_i < x < x_{i+1} \\ 0 & \text{其他} \end{cases} \quad \phi_n(x) = \begin{cases} 1 + \frac{x+x_n}{h_n} & x_{n-1} < x < x_n \\ 0 & \text{其他} \end{cases}$$

考虑试探函数空间 $U_n = \{\phi_i\}_{i=1}^n$, 对任意 $u_h \in U_h$ 可以表示为:

$$u_n = \sum_{i=1}^n u_i \phi_i(x), u_i = u_h(x_i)$$

形成有限元方程后, 求解线性方程组 $Ax = b$ 即可获得基函数系数。对于条件数可以使用 matlab 命令 $\text{cond}(A, 2)$, 定义 $errL$ 和 $errH$ 后, 给出其离散点集, 然后可以使用复化 Simpson 方法来求积分, 进而使用 plot , $\log\log$ 函数绘制图像即可。

matlab 编程的具体操作如下:

Step 1: 初始化矩阵和向量 $A = \text{zeros}(n, n), b = \text{zeros}(n, 1)$

Step 2: 网格剖分, 记录网格信息: $p(i) = x_i, \quad I(:, i) = [i_1, i_2]$

Step 3: 构造基函数 $\{\varphi_i\}$, 一维情形下为山形函数

Step 4: 形成有限元方程:

确定数值积分公式 $\int_0^1 f(\xi) d\xi \approx \sum_{k=1}^m w_k f(\xi_k)$

For $i = 1 : 1 : n$

$$x_{i_1} = p(I(1, i)), \quad x_{i_2} = p(I(2, i)), \quad h_i = x_{i_2} - x_{i_1}$$

$$\text{构造仿射变换: } N_0(\xi) = 1 - \xi, \quad N_1(\xi) = \xi, \quad \xi = \frac{x - x_{i_1}}{h_i}$$

/* 以 $a(u, v) = \int_a^b [pu'v' + quv] dx$ 为例展示 */

$$a_1 \approx \sum_{k=1}^m w_k [-h_i^{-1} p(x_{i_1} + h_i \xi_k) + h_i q(x_{i_1} + h_i \xi_k)(1 - \xi_k) \xi_k]$$

$$a_2 \approx \sum_{k=1}^m w_k [-h_i^{-1} p(x_{i_1} + h_i \xi_k) + h_i q(x_{i_1} + h_i \xi_k)(1 - \xi_k) \xi_k]$$

$$a_3 \approx \sum_{k=1}^m w_k [h_i^{-1} p(x_{i_1} + h_i \xi_k) + h_i q(x_{i_1} + h_i \xi_k) \xi_k^2]$$

$$a_4 \approx \sum_{k=1}^m w_k [h_i^{-1} p(x_{i_1} + h_i \xi_k) + h_i q(x_{i_1} + h_i \xi_k)(1 - \xi_k)^2]$$

$$b_1 \approx \sum_{k=1}^m w_k [h_i f(x_{i_1} + h_i \xi_k)(1 - \xi_k)], \quad b_2 \approx \sum_{k=1}^m w_k [h_i f(x_{i_1} + h_i \xi_k) \xi_k]$$

组装系数矩阵

$$A_{i_1 i_2} = A_{i_1 i_2} + a_1, \quad A_{i_2 i_1} = A_{i_2 i_1} + a_2, \quad b_{i_1} = b_{i_1} + b_1$$

$$A_{i_2 i_2} = A_{i_2 i_2} + a_3, \quad A_{i_1 i_1} = A_{i_1 i_1} + a_4, \quad b_{i_2} = b_{i_2} + b_2$$

End

Step 5: 求解系数矩阵 $Au = b, \quad u = A \setminus b$

Step 6: 求得有限元解 $u_n(x) = \sum_{i=1}^n u(i) \varphi_i(x)$

3 实验结果

下图是数值解和精确解的图像：

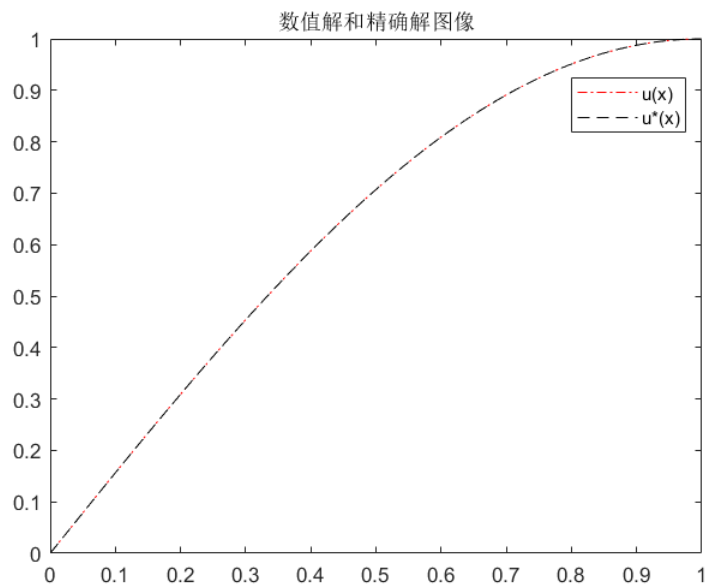


图 1: 数值解和精确解的图像

下图是 $(\log h, \log(\text{err}L))$ 的图像，根据线性基本拟合，知 $\text{err}L$ 收敛阶为 2.

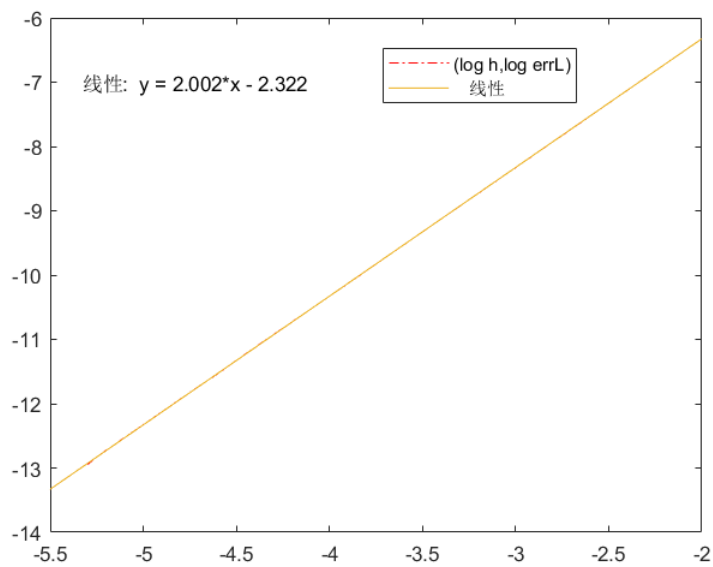


图 2: $L^2([0, 1])$ 误差的收敛阶

下图是 $(\log h, \log(\text{err}H))$ 的图像，根据线性基本拟合，知 $\text{err}H$ 收敛阶为 1.

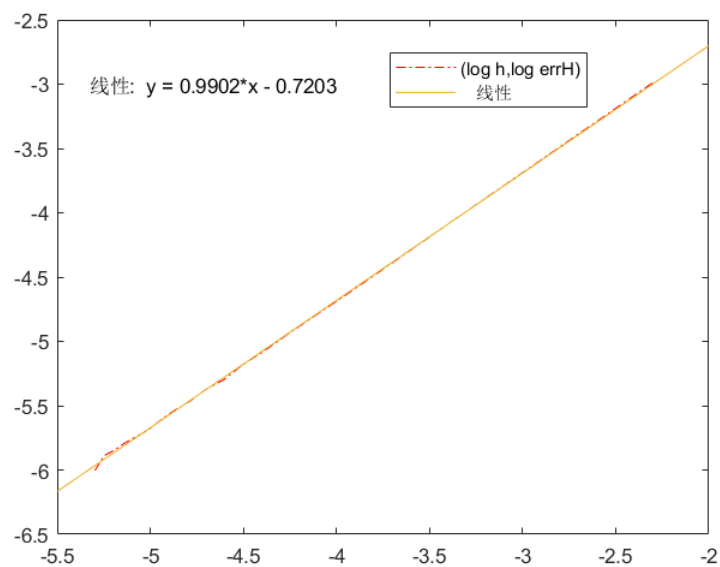


图 3: $H^1([0, 1])$ 误差的收敛阶

下面用 $\text{loglog}()$ 函数展示 $(h, \text{err}L), (h, \text{err}H)$ 。

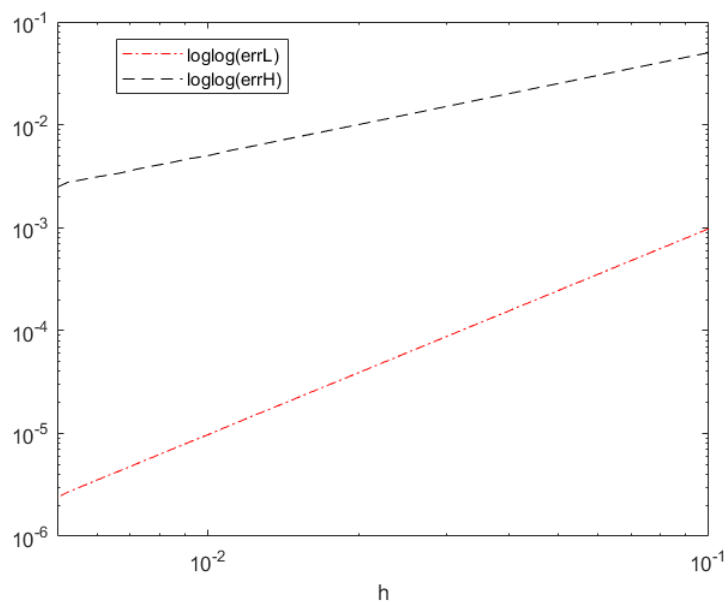


图 4: loglog_{err} 图像

用 $\text{loglog}()$ 函数展示矩阵 A 的条件数的变化。

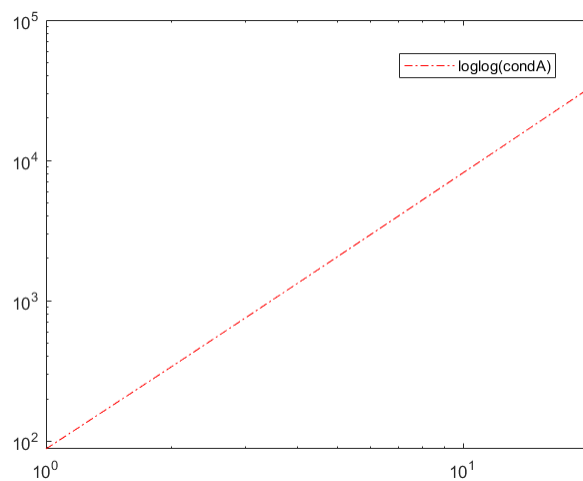


图 5: loglog_{condA}

4 实验结果分析

对于本题, errL 误差的收敛阶均为 2, errH 误差的收敛阶均为 1, 两类误差的收敛阶不同, 可能是基函数为山形函数, 其导数是阶梯函数, 同原函数的导数误差较大造成的, 不过可以猜测得到的是, 随着区间剖分越来越细密, 二者导数造成的误差会收敛于 0。

根据矩阵 A 的定义, 矩阵 A 是严格对角占优的, 故而矩阵 A 是非奇异的矩阵。但是随着基函数的增加, 矩阵 A 的对角占优的性质越来越弱, 它的影响需要更多的精力来分析了。对于 $N=10:10:200$, 矩阵 A 的条件数增长, 但并不趋向于极大, 求解方程 $Ax = b$ 是稳定的, 由下列图象知, condA 随 h 指数级增长。

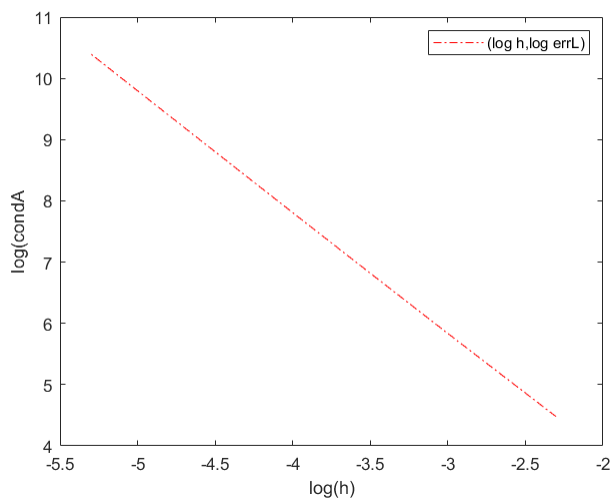


图 6: $\text{logh}_{logcondA}$